

Inverz inga stabilizálása tört rendű késleltetett PD szabályozóval Stabilization of an inverted pendulum by fractional-order delayed PD controller

BALOGH Tamás¹, ***INSPERGER Tamás***²

¹ Budapesti Műszaki és Gazdaságtudományi Egyetem, Budapest, Magyarország
(e-mail: baloghtamas2727@gmail.com)

² Budapesti Műszaki és Gazdaságtudományi Egyetem, Műszaki Mechanikai Tanszék és MTA-BME Lendület
Emberi Egyensúlyozás Kutatócsoport, Budapest, Magyarország (e-mail: insperger@mm.bme.hu)

Abstract

In the last few decades the advantages of fractional-order control was demonstrated with several examples in comparison with integer-order control. In this paper an inverted pendulum with delayed PD^μ controller was investigated. The stability chart and the stabilizability diagram was determined. According to the stabilizability diagram, the system can be stabilized for larger values of time delay using PD^μ controller than using PD controller.

Összefoglaló

Az utóbbi évtizedekben számos példán keresztül mutatták be a tört deriváltat tartalmazó szabályozások előnyeit az egész rendű szabályozásokhoz képest. A cikkben egy inverz inga mozgásának megfelelő rendszer időkésleltetett PD^μ szabályozóval történő szabályozását vizsgáltuk. Meghatároztuk a szabályozás stabilitási térképét és a stabilizálhatósági határt. A kapott eredmény alapján PD^μ szabályozóval nagyobb időkésés esetén is stabilizálható a rendszer, mint PD szabályozóval.

Kulcsszavak

időkésés, inverz inga, stabilitás, stabilizálhatóság, tört derivált

1. BEVEZETÉS

Az utóbbi időben a mérnöki tudományok és természettudományok területén számos alkalmazásban jelent meg a tört derivált és a tört deriváltat tartalmazó differenciálegyenletek. A tört derivált fogalmát alkalmazhatjuk többek között a viskoelasztikus anyagmodellek, és a cikkben is tárgyalt tört deriváltat tartalmazó szabályozók esetén is.

1.1. Alapfogalmak

A szakirodalomban többféle definíció is található a tört deriváltra vonatkozóan. Ezek közül az egyik leggyakrabban használt a Caputo-féle tört derivált definíció, ami az n -szeres integrál rendjének a pozitív valós számokra történő általánosításán alapul. Az a alsó határú, α rendű Caputo-féle tört deriváltat a következőképpen definiálhatjuk [7]:

$${}_a^t D_*^\alpha f(t) := \begin{cases} \frac{1}{\Gamma(m-\alpha)} \int_a^t (t-\tau)^{m-\alpha-1} f^{(m)}(\tau) d\tau, & m-1 < \alpha < m \in \mathbb{N}, \\ \frac{d^m}{dt^m} f(t), & \alpha = m \in \mathbb{N}, \end{cases} \quad (1)$$

ahol $\Gamma(x)$ a gamma-függvény. Egy függvény Caputo-féle tört deriváltjának Laplace-transzformáltja $\alpha = 0$ alsó határ esetén [7]:

$$\mathcal{L}({}_0^t D_*^\alpha f(t)) = s^\alpha F(s) - \sum_{k=0}^{m-1} s^{\alpha-k-1} f^{(k)}(0). \quad (2)$$

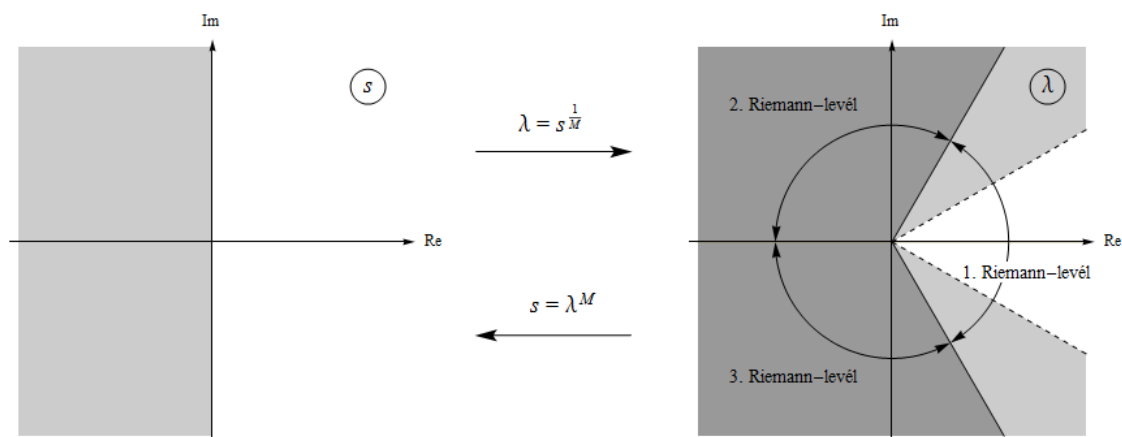
1.2. Tört differenciálegyenletek stabilitása

Az egész rendű differenciálegyenletekhez hasonlóan tört differenciálegyenleteket is értelmezhetünk. Egy Caputo-féle tört deriváltakkal adott lineáris állandó együtthatós tört differenciálegyenlet stabilitását a differenciálegyenlet karakterisztikus egyenlete segítségével vizsgálhatjuk. A Laplace-transzformáció után kapott karakterisztikus egyenlet általános esetben a következő alakú:

$$s^{\alpha_n} + \sum_{i=1}^{n-1} A_i s^{\alpha_i} + A_0 = 0. \quad (3)$$

A (3) egyenletnek megfelelő időképletelés nélküli esetben egy gerjesztetlen rendszer aszimptotikus stabilitásának és egy gerjesztett rendszer BIBO (Bounded Input Bounded Output) stabilitásának feltétele is az, hogy a (3) egyenlet bal oldalán található karakterisztikus függvény első Riemann-levélhez tartozó gyökeinek valós része legyen negatív [4, 6].

Legyenek a (3) egyenletben az α_i kitevők racionális számok, és legyen M az α_i kitevők nevezőinek legkisebb közös többszöröse. Ekkor a $\lambda = s^{\frac{1}{M}}$ helyettesítéssel a karakterisztikus függvényt egy polinommá alakíthatjuk. Ez a leképezés trigonometrikus alakban is felírható: $\lambda = |s|^{\frac{1}{M}} \left(\cos\left(\frac{\arg(s)+2k\pi}{M}\right) + i \sin\left(\frac{\arg(s)+2k\pi}{M}\right) \right)$, ahol $k = 0, 1, \dots, M-1$ és $-\pi < \arg(s) \leq \pi$. A különböző k értékekhez tartozó leképezések közül a $k = 0$ -hoz tartozó felel meg a $s^{\frac{1}{M}}$ hatvány első Riemann-levélnek megfelelő értékének (főértékének). Ezért a stabilitás feltétele úgy is megfogalmazható, hogy a helyettesítés után kapott polinom λ_i gyökeire teljesüljön a $|\arg(\lambda_i)| > \frac{1}{M} \frac{\pi}{2}$ egyenlőtlenség [4, 6]. A leképezést és a stabil tartományt az s -síkon, illetve a λ -síkon az 1. ábra szemlélteti.



1. ábra

A stabil tartomány az s -síkon és a λ -síkon $M = 3$ esetén

A későbbiekben vizsgált időképletetett esetben is hasonló a stabilitás feltétele, mint az időképletelés nélküli esetben: a gerjesztett rendszer BIBO stabil, ha a karakterisztikus függvény első Riemann-levélén lévő gyökeinek valós része negatív [1].

2. STABILITÁSVIZSGÁLAT

A későbbiekben egy tört deriváltat tartalmazó PD szabályozóval szabályozott inverz inga stabilitását vizsgáljuk. A stabilitási térkép meghatározása D-felbontás segítségével történik [2]. Ezután a stabilizálhatósági határ meghatározása következik.

2.1. A vizsgált rendszer differenciálegyenlete

Szabályozzuk az inverz inga mozgásának megfelelő egy szabadságfokú másodrendű instabil rendszert PD^μ szabályozóval, és vegyük figyelembe az időképletet is. A zárt szabályozási kör bemenete

legyen az $u_r(t)$ referenciajel. A különbségképzés után a hibajel $e(t) = u_r(t) - y(t)$. Az eredő rendszer egyenlete a következő lesz:

$$\frac{d^2 y(t)}{dt^2} - a_0 y(t) = k_p e(t - \tau) + k_d {}^t_0 D_*^\mu e(t - \tau), \quad (4)$$

ahol $a_0 > 0$ a merevség, τ az időkéscés, k_p az arányos tag együtthatója, k_d a deriváló tag együtthatója és $0 < \mu < 2$ a deriválás rendje. A (4) differenciálegyenlet dimenzióatlanítás után a következő alakra hozható:

$$\frac{d^2 y(\vartheta)}{d\vartheta^2} - a y(\vartheta) = p e(\vartheta - 1) + d {}^\vartheta_0 D_*^\mu e(\vartheta - 1), \quad (5)$$

ahol $\vartheta = \frac{t}{\tau}$, $a = a_0 \tau^2$, $p = k_p \tau^2$, $d = k_d \tau^{2-\mu}$.

A dimenzióatlanított differenciálegyenlet karakterisztikus függvényét megkaphatjuk Laplace-transzformáció segítségével:

$$D(s) = s^2 - a + p e^{-s} + d s^\mu e^{-s}. \quad (6)$$

2.2. A stabilitási térkép

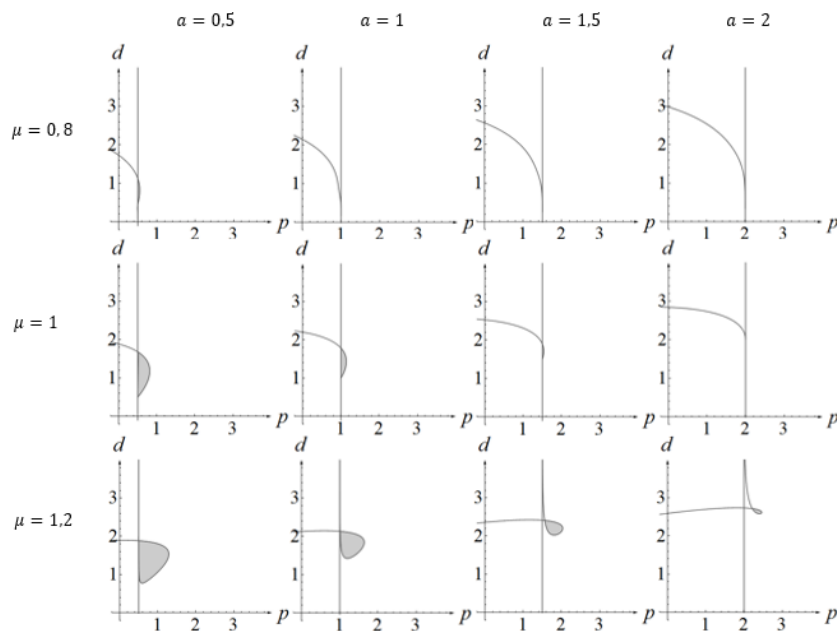
A stabilitási térkép tartományainak határait jelentő RRB (Real Root Boundary) és CRB (Complex Root Boundary) típusú D-görbék a $D(s)$ karakterisztikus függvényből kaphatjuk meg a $D(0) = 0$ és $D(\pm i x) = 0$ egyenletek alapján [2]. Az RRB D-görbe egyenlete:

$$p = a. \quad (7)$$

A CRB D-görbe paraméteres egyenletrendszere:

$$p = \frac{(x^2 + a) \sin(\frac{\mu}{2} x)}{\sin(\frac{\mu}{2} x)}, \quad d = \frac{(x^2 + a) \sin(x)}{x^\mu \sin(\frac{\mu}{2} x)}, \quad x > 0. \quad (8)$$

A D-görbék által határolt tartományokban az instabil gyökök száma egy numerikus módszer segítségével meghatározható [5], így meghatározható a stabil tartomány is a stabilitási térképen. A 2. ábrán látható a stabilitási térkép és a BIBO stabil tartomány különböző a és μ értékek esetén.



2. ábra

Az (5) egyenlet stabilitási térképének változása az a és μ paraméterek változása esetén

2.3. A stabilizálhatósági határ

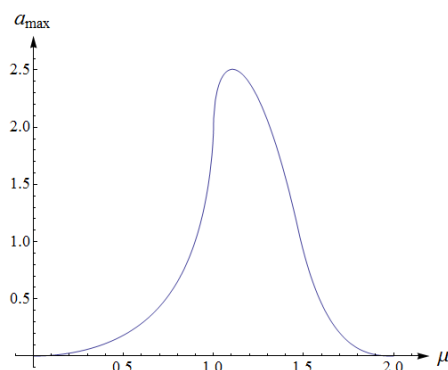
A 2. ábra alapján látszik, hogy rögzített μ esetén a stabil tartomány egyre kisebb lesz, majd eltűnik, ha a nő. A stabil tartomány eltűnéséhez tartozó a értéket (a_{\max}) nevezhetjük stabilizálhatósági határnak. A stabil tartományt a CRB görbe kezdeti szakasza határozza meg, a stabilizálhatósági határ meghatározásakor elég a CRB görbe $0 < x < \mu \frac{\pi}{2}$ szakaszát vizsgálni. Az $a_{\max}(\mu)$ görbe meghatározása különböző módon történhet a $0 < \mu < 1$ és a $1 < \mu < 2$ esetben, mivel a két esetben különbözik a stabilizálhatóság határhelyzetére vonatkozó feltétel.

A $0 < \mu < 1$ esetben a stabilizálhatóság határhelyzetében az RRB egyenes érinti a CRB D-görbét, az érintési pontban $p = a$, illetve a $p(x)$ függvénynek lokális maximuma van, tehát $p(x)$ függvény x szerinti deriváltja 0. A határhelyzetre vonatkozó feltételeket felhasználva levezethető az $a_{\max}(\mu)$ görbe két részben megadható paraméteres egyenletrendszere:

$$\mu_{1,2} = \frac{2}{\pi} \arctg \left(\frac{-4 \sin(x) \cos(x) + 2 \sin(x) + x \cos(x) \pm \sqrt{\Delta(x)}}{2(-2 \cos^2(x) + 2 \cos(x) - x \sin(x))} \right), \quad a_{\max 1,2} = \frac{x^2 \sin(\mu_{1,2} \frac{\pi}{2} - x)}{\sin(\mu_{1,2} \frac{\pi}{2}) - \sin(\mu_{1,2} \frac{\pi}{2} - x)}, \quad (9)$$

ahol $\Delta(x) = 4 \sin^2(x) + x^2 \cos^2(x) + 4x \sin(x) \cos(x) - 8x \sin(x)$. Mindkét rész értelmezési tartománya a $]0, x_{\max}]$ intervallum. Az x_{\max} helyen a két görbe ugyanazt az értéket veszi fel, ezért $\Delta(x_{\max}) = 0$. Tehát x_{\max} a $\Delta(x) = 0$ egyenlet $0 < x < \mu \frac{\pi}{2} < \frac{\pi}{2}$ feltétel melletti gyöke. Az egyenlet numerikus megoldásával kapott érték: $x_{\max} = 0,543358$.

A $1 < \mu < 2$ esetben a stabil tartományt közrezáró hurok a stabilizálhatóság határhelyzetében megszűnik. A hurok megszűnéséhez tartozó a érték, és így az $a_{\max}(\mu)$ görbe is meghatározható numerikus módszerek segítségével. A teljes $0 < \mu < 2$ tartományra vonatkozó stabilizálhatósági határ a 3. ábrán látható.



3. ábra

A stabilizálhatóság határára vonatkozó $a_{\max}(\mu)$ görbe, ha $0 < \mu < 2$

Látszik, hogy PD^μ szabályozó alkalmazása esetén növelhető a stabilizálhatóság a PD szabályozóhoz tartozó $a_{\max}(\mu = 1) = 2$ szakirodalomból ismert értékhez képest [3]. Az $a_{\max}(\mu)$ görbe maximumértéke és maximumhelye a görbe numerikusan kiszámított pontjai alapján: $a_{\max}^* = a_{\max}(\mu^*) = 2,5066$ és $\mu^* = 1,106$.

[1] Busłowicz, M.: *Stability of linear continuous-time fractional order systems with delays of the retarded type*, Bull. Pol. Ac.: Tech, 56(4): 319–324, 2008.

[2] Hamamci, S. E.: *An algorithm for stabilization of fractional-order time delay systems using fractional-order PID controllers*, IEEE Transactions on Automatic Control, 52(10): 1964–1969, 2007.

[3] Insperger, T., Stépán, G.: *Semi-Discretization for Time-Delay Systems – Stability and Engineering Applications*, Springer, New York, 2013.

[4] Matignon, D.: *Stability results for fractional differential equations with applications to control processing*, Computational engineering in systems applications, 2: 963–968, Lille, 1996.

[5] Merrikh-Bayat, F.: *General formula for stability testing of linear systems with fractional-delay characteristic equation*, Open Physics, 11(6): 855–862, 2013.

[6] Monje, C. A., Chen, Y., Vinagre, B. M., Xue, D., Feliu-Battle, V.: *Fractional-order systems and controls: fundamentals and applications*, Springer, London, 2010.

[7] Podlubny, I.: *Fractional differential equations*, Academic Press, San Diego, 1999.